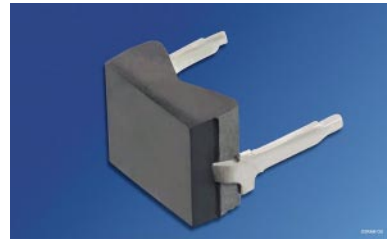


Silizium-Pin-Fotodiode mit Tageslichtsperrfilter; in SMT

Silicon Pin Photodiode with Daylight Filter; in SMT

BP 104 F
BP 104 FS



BP 104 F



BP 104 FS

Wesentliche Merkmale

- Speziell geeignet für Anwendungen bei 950 nm
- Kurze Schaltzeit (typ. 20 ns)
- DIL-Plastikbauförm mit hoher Packungsdichte
- BP 104 FS: geeignet für Vapor-Phase Löten und IR-Reflow Löten

Anwendungen

- IR-Fernsteuerung von Fernseh- und Rundfunkgeräten, Videorecordern, Lichtdimmern, Gerätefernsteuerungen
- Lichtschranken für Gleich- und Wechsellichtbetrieb

Features

- Especially suitable for applications of 950 nm
- Short switching time (typ. 20 ns)
- DIL plastic package with high packing density
- BP 104 FS: suitable for vapor-phase and IR-reflow soldering

Applications

- IR remote control of hi-fi and TV sets, video tape recorders, dimmers, remote controls of various equipment
- Photointerrupters

| Typ Type | Bestellnummer Ordering Code | Gehäuse Package |
|-------------|--------------------------------|---|
| BP 104 F | Q62702-P84 | DIL-Gehäuse, schwarzes Epoxy-Gießharz, Kathodenkennzeichnung: Fähnchen am Anschluß DIL package, black epoxy resin Cathode marking: flag on lead |
| BP 104 FS | Q62702-P1646 | DIL/SMT-Gehäuse, schwarzes Epoxy-Gießharz, Kathodenkennzeichnung: Langer, breiter Anschluß DIL/SMT package, black epoxy resin Cathode marking: long broad lead |

Grenzwerte
Maximum Ratings

| Bezeichnung Parameter | Symbol Symbol | Wert Value | Einheit Unit |
|--|---------------------------------|---------------|-----------------|
| Betriebs- und Lagertemperatur Operating and storage temperature range | $T_{\text{op}}; T_{\text{stg}}$ | - 40 ... + 85 | °C |
| Sperrspannung Reverse voltage | V_R | 20 | V |
| Verlustleistung, $T_A = 25$ °C | P_{tot} | 150 | mW |

Kennwerte ($T_A = 25$ °C, $\lambda = 950$ nm)

Characteristics

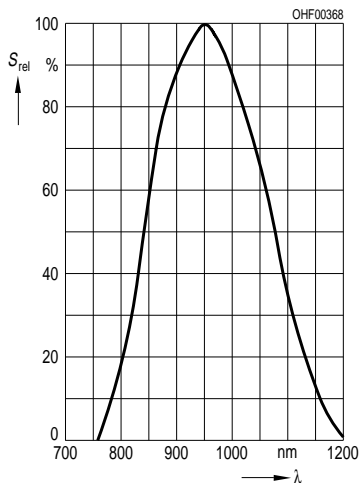
| Bezeichnung Parameter | Symbol Symbol | Wert Value | Einheit Unit |
|--|------------------------------|------------------------|---------------------|
| Fotostrom Photocurrent $V_R = 5$ V, $E_e = 1$ mW/cm ² | I_P | 34 (≥ 25) | µA |
| Wellenlänge der max. Fotoempfindlichkeit Wavelength of max. sensitivity | $\lambda_{S \text{ max}}$ | 950 | nm |
| Spektraler Bereich der Fotoempfindlichkeit $S = 10\%$ von S_{max} Spectral range of sensitivity $S = 10\%$ of S_{max} | λ | 800 ... 1100 | nm |
| Bestrahlungsempfindliche Fläche Radiant sensitive area | A | 4.84 | mm ² |
| Abmessung der bestrahlungsempfindlichen Fläche Dimensions of radiant sensitive area | $L \times B$ $L \times W$ | 2.20 × 2.20 | mm × mm |
| Abstand Chipoberfläche zu Gehäuseoberfläche Distance chip front to case surface | H | 0.5 0.3 (BP 104 FS) | mm |
| Halbwinkel Half angle | φ | ± 60 | Grad deg. |
| Dunkelstrom, $V_R = 10$ V Dark current | I_R | 2 (≤ 30) | nA |
| Spektrale Fotoempfindlichkeit Spectral sensitivity | S_λ | 0.70 | A/W |
| Quantenausbeute Quantum yield | η | 0.90 | Electrons Photon |

Kennwerte ($T_A = 25^\circ\text{C}$, $\lambda = 950 \text{ nm}$)

Characteristics (cont'd)

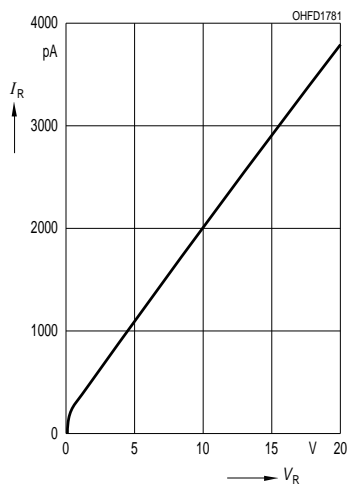
| Bezeichnung Parameter | Symbol Symbol | Wert Value | Einheit Unit |
|--|------------------|-----------------------|--|
| Leerlaufspannung, $E_e = 0.5 \text{ mW/cm}^2$ Open-circuit voltage | V_O | 330 (≥ 250) | mV |
| Kurzschlußstrom, $E_e = 0.5 \text{ mW/cm}^2$ Short-circuit current | I_{SC} | 17 | μA |
| Anstiegs- und Abfallzeit des Fotostromes Rise and fall time of the photocurrent $R_L = 50 \Omega$; $V_R = 5 \text{ V}$; $\lambda = 850 \text{ nm}$; $I_p = 800 \mu\text{A}$ | t_r, t_f | 20 | ns |
| Durchlaßspannung, $I_F = 100 \text{ mA}$, $E = 0$ Forward voltage | V_F | 1.3 | V |
| Kapazität, $V_R = 0 \text{ V}$, $f = 1 \text{ MHz}$, $E = 0$ Capacitance | C_0 | 48 | pF |
| Temperaturkoeffizient von V_O Temperature coefficient of V_O | TC_V | -2.6 | mV/K |
| Temperaturkoeffizient von I_{SC} Temperature coefficient of I_{SC} | TC_I | 0.18 | %/K |
| Rauschäquivalente Strahlungsleistung Noise equivalent power $V_R = 10 \text{ V}$ | NEP | 3.6×10^{-14} | $\frac{\text{W}}{\sqrt{\text{Hz}}}$ |
| Nachweisgrenze, $V_R = 10 \text{ V}$ Detection limit | D^* | 6.1×10^{12} | $\frac{\text{cm} \times \sqrt{\text{Hz}}}{\text{W}}$ |

Relative Spectral Sensitivity
 $S_{\text{rel}} = f(\lambda)$



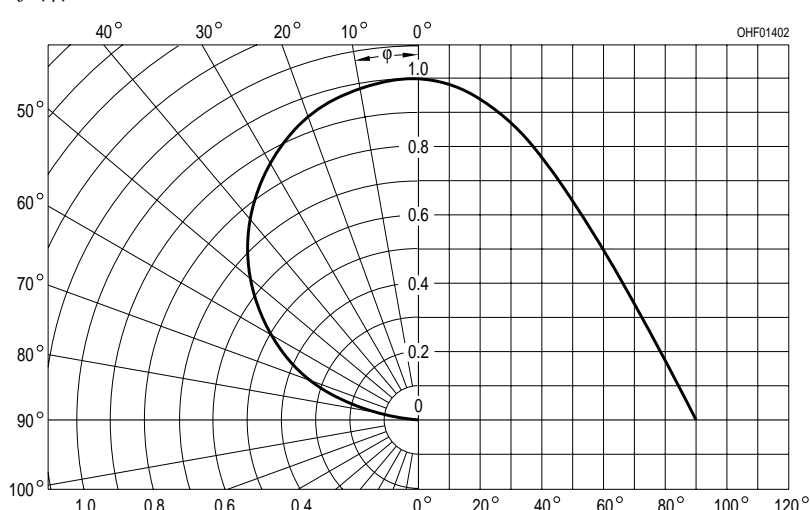
Dark Current

$$I_R = f(V_R), E = 0$$

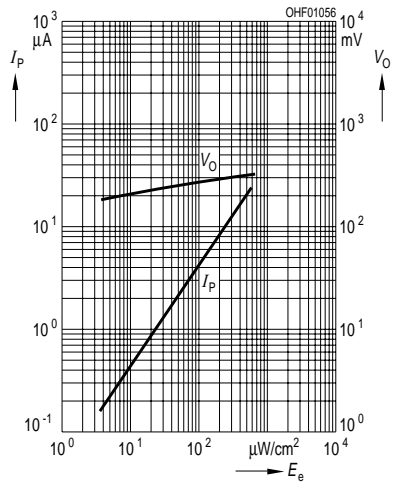


Directional Characteristics

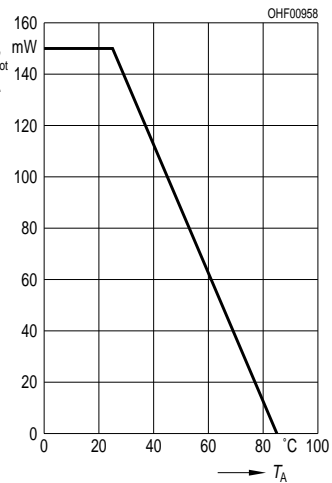
$$S_{\text{rel}} = f(\phi)$$



Photocurrent $I_P = f(E_e)$, $V_R = 5$ V
Open-Circuit Voltage $V_O = f(E_e)$

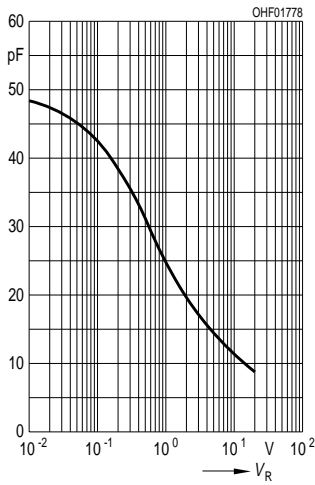


Total Power Dissipation
 $P_{\text{tot}} = f(T_A)$



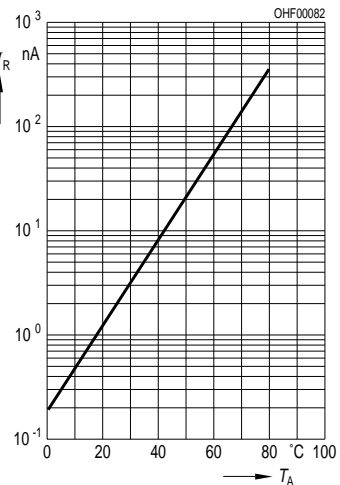
Capacitance

$$C = f(V_R), f = 1 \text{ MHz}, E = 0$$



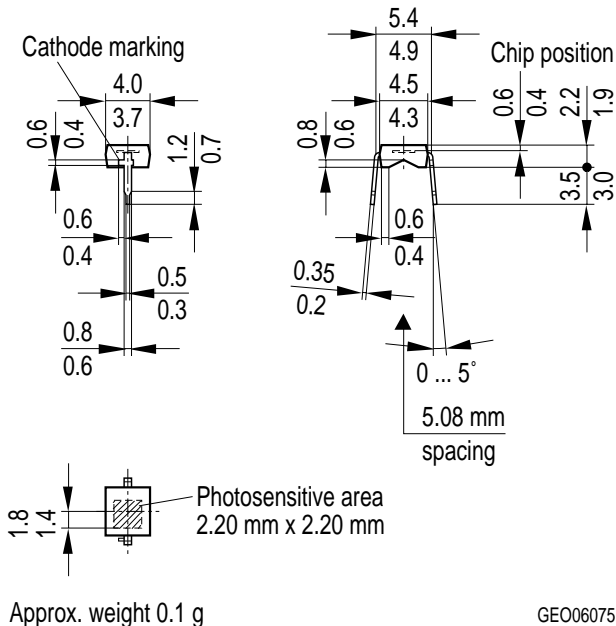
Dark Current

$$I_R = f(T_A), V_R = 10 \text{ V}, E = 0$$

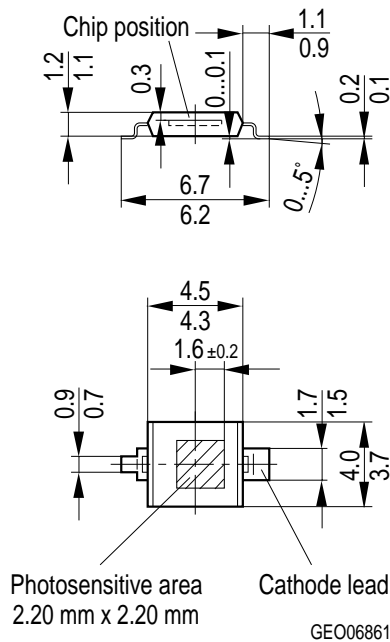


Maßzeichnung
Package Outlines

BP 104 F



BP 104 FS



Maße in mm, wenn nicht anders angegeben / Dimensions in mm, unless otherwise specified.